

СООБЩЕНИЯ
ОБЪЕДИНЕННОГО
ИНСТИТУТА
ЯДЕРНЫХ
ИССЛЕДОВАНИЙ

ДУБНА



С 324.12

Б-247

4825/2-76

6/XII-76

P2 - 10114 **e**

Д.Ю.Бардин, О.М.Федоренко, Н.М.Шумейко

ТОЧНОЕ ВЫЧИСЛЕНИЕ
РАДИАЦИОННОЙ ПОПРАВКИ НИЗШЕГО ПОРЯДКА
К ПРОЦЕССАМ РАССЕЯНИЯ ТОЧЕЧНЫХ ЧАСТИЦ
СО СПИНАМИ 0 И 1/2

1976

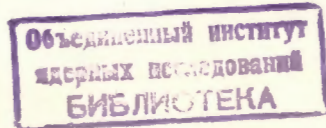
P2 - 10114

Д.Ю.Бардин, О.М.Федоренко¹, Н.М.Шумейко²

ТОЧНОЕ ВЫЧИСЛЕНИЕ
РАДИАЦИОННОЙ ПОПРАВКИ НИЗШЕГО ПОРЯДКА
К ПРОЦЕССАМ РАССЕЯНИЯ ТОЧЕЧНЫХ ЧАСТИЦ
СО СПИНАМИ 0 И 1/2

¹ Московский государственный университет

² Белорусский государственный университет, Минск



Введение

В работе^{/1/} мы вычислили часть вкладов в электромагнитную поправку (э.п.) низшего порядка к упругому μe -рассеянию в условиях эксперимента, в котором не делается различия между упругим процессом и процессом тормозного излучения фотона (эксперимент второго типа).

В этой работе мы приводим остальные формулы, которые вместе с результатами работы^{/1/} дают полную э.п. низшего порядка к процессу электромагнитного рассеяния двух точечных заряженных частиц со спином $1/2$ для экспериментов второго типа. Так же, как и в работе^{/1/}, все выражения получены без использования каких-либо приближений и в ковариантной форме. Найденные здесь и в^{/1/} формулы были использованы нами для вычисления э.п. низшего порядка к процессу глубоконеупругого ℓN -рассеяния в партонной модели^{/2/}.

Имея в виду дальнейшие приложения, мы приводим также аналогичные результаты для упругого электромагнитного рассеяния двух точечных заряженных частиц со спинами 0 и $1/2$.

Здесь используются те же обозначения и терминология, что и в работе^{/1/}. Безрадиационное сечение в порядке ω^2 , а также V - и R -вклады в сечение порядка ω^3 представлены в виде однократных дифференциальных спектров по величине $y = (K_1 - K_2)^2$, где K_1 и K_2 — начальный и конечный 4-импульсы частицы со спином $1/2$.

В первой части работы дана общая формула для сечения процессов с точностью до членов $\sim \omega^3$. Во второй части выписаны

∇ - вклады в сечение, выраженные через введенные инварианты.

В третьей части приведены результаты для тех частей R -вклада, которые не были даны в ^I/.

I. Общее выражение для сечения

Дифференциальное сечение $d\sigma/dy$ электромагнитных процессов

$$\frac{1}{2}(P_1) + \frac{1}{2}(K_1) \longrightarrow \frac{1}{2}(P_2) + \frac{1}{2}(K_2) \quad (1)$$

$$O(P_1) + \frac{1}{2}(K_1) \longrightarrow O(P_2) + \frac{1}{2}(K_2) \quad (2)$$

(P_1, K_1, P_2, K_2 - начальные и конечные 4-импульсы частиц реакции, причем $P_1^2 = P_2^2 = -M^2, K_1^2 = K_2^2 = -m^2$) с точностью до членов λ^3 представим в виде

$$\frac{d\sigma}{dy} = \frac{d\sigma_o}{dy} + \frac{d\sigma_v}{dy} + \frac{d\sigma_o}{dy} \cdot \frac{\lambda}{\pi} \cdot (\delta^4 + \delta^{\lambda} + \delta^s + \delta'') + \frac{d\sigma''}{dy} + \frac{d\sigma_a}{dy} \quad (3)$$

Здесь $d\sigma_o/dy$ - дифференциальное сечение низшего порядка λ^2 . Для процессов (1) и (2) имеем соответственно:

$$\frac{d\sigma_o^I}{dy} = \frac{4\pi \cdot \lambda^2}{\lambda_s \cdot y^2} \cdot T_o^I, \quad T_o^I = \frac{1}{2} [S^2 + X_o^2 - 2 \cdot Y(M^2 + M^2)] \quad (4)$$

$$\frac{d\sigma_o^{II}}{dy} = \frac{2\pi \cdot \lambda^2}{\lambda_s \cdot y^2} \cdot T_o^{II}, \quad T_o^{II} = 2[S \cdot X_o - Y \cdot M^2], \quad X_o = S - Y. \quad (5)$$

Сечение $d\sigma_v^{IR}/dy$ - конечная (не зависящая от λ) часть

∇ - вклада, оставшаяся после выделения из него сечения $d\sigma_v^{IR}/dy$ (формула (52) работы ^I/). Эта часть содержит

вклады диаграмм поляризации вакуума, вершинных диаграмм и диаграмм двухфотонного обмена и может быть записана в виде

$$\frac{d\sigma_v^F}{dy} = \frac{d\sigma_o}{dy} \cdot \frac{\lambda}{\pi} \cdot (\delta_{vac} + \delta_{vert}) + \frac{d\sigma_a}{dy} + \frac{d\sigma_{av}}{dy}, \quad (6)$$

где $d\sigma_a/dy$ отвечает вкладу аномального магнитного момента в вершинной диаграмме для частиц со спином $1/2$.

Третье слагаемое в (3) отвечает: конечной части $d\sigma_v^{IR}/dy - \delta^4$; результату сокращения λ в V и R вкладах - δ_λ ; частям R - вклада, описываемым излучением мягких и жестких фотонов, - δ^s и δ'' , соответственно. Величины δ вследствие факторизации упругого сечения не зависят от спина сталкивающихся частиц и являются общими для двух рассматриваемых случаев. Они даются формулами (57), (60), (38) и (46) работы ^I/, соответственно.

Наконец, $d\sigma''/dy$ и $d\sigma_a''/dy$ - остальные части R -вклада (формулы (45) и (10) работы ^I/).

Выражения для конечной части ∇ - вклада в сечения процессов (1) и (2) неоднократно приводились в литературе ^{3, 4/}. Мы выпишем их ниже для полноты.

Поляризация вакуума частицей со спином $1/2$ ^{3/}:

$$\delta_{vac}^{\frac{1}{2}} = \frac{2}{3}(Y+2M^2) \cdot L_m - \frac{10}{9} + \frac{8m^2}{3Y} (1-2m^2 L_m). \quad (7)$$

Поляризация вакуума частицей со спином 0/4/:

$$\delta_{vac}^0 = \frac{(Y+4M^2)^2}{6Y} \cdot L_m - \frac{4}{9} - \frac{4M^2}{3Y}. \quad (8)$$

Вершинная функция частицы со спином 1/2 /4/:

$$\delta_{vert}^{\frac{1}{2}} = \left(\frac{3}{2}Y+4m^2\right) L_m - 2. \quad (9)$$

Вершинная функция частицы со спином 0 /4/:

$$\delta_{vert}^0 = 2(Y+2M^2) L_m - 2. \quad (10)$$

Вклад аномальных магнитных моментов частиц со спином 1/2:

$$\frac{d\delta_a^I}{dy} = \frac{4d^3}{\lambda_s Y} \left[(Y-2M^2)m^2 L_m^2 + f^2 (Y-2m^2) M^2 L_m \right], \quad \frac{d\delta_a^{\bar{I}}}{dy} = -\frac{2d^3}{\lambda_s Y} (Y+4M^2)m^2 L_m. \quad (11)$$

Вклад двухфотонного обмена:

$$\frac{d\delta_{2r}^I}{dy} = \frac{d\delta_a^I}{dy} \cdot f \cdot (\delta_J^I + \delta_K), \quad (12)$$

$$\frac{d\delta_{2r}^{\bar{I}}}{dy} = \frac{d\delta_a^{\bar{I}}}{dy} \cdot f \cdot (\delta_J^{\bar{I}} + \delta_K), \quad (13)$$

где f - знаковый множитель, введенный в работе /1/,

Величины $\delta_J^{\bar{I}}$ и δ_K вычислены в работе /4/. В принятых нами обозначениях они имеют вид:

$$\delta_K = 2 \left[\Phi\left(1+\frac{S}{M^2}\right) - \Phi\left(1-\frac{S}{M^2}\right) - \Phi\left(\frac{m^2(S+M^2)}{S^2}\right) + \Phi\left(\frac{m^2(M^2-S)}{S^2}\right) - \bar{J}^2 \right] \quad (14)$$

$$\delta_J^{\bar{I}} = -S \left(1 + \frac{Y(S+M^2)}{T_0^2} \right) \cdot K_S - X_0 \left(1 - \frac{Y(X_0-M^2)}{T_0^2} \right) \cdot K_X + \frac{4Y(S+X_0)}{T_0^2} \left[(Y+2M^2) G_0^{(M)} + (Y+2m^2) G_0^{(m)} + 2m^2 g_1^{(m)} \right], \quad (15)$$

$$K_S = -L_s \cdot \ln \frac{|Y[\sqrt{\lambda_s} \cdot (m^2-M^2) + S(m^2+M^2) + 4m^2M^2]|}{2 \cdot m \cdot M \cdot \lambda_s} - \frac{2}{\sqrt{\lambda_s}} \left[\Phi\left(\frac{S+2M^2-\sqrt{\lambda_s}}{S+2M^2+\sqrt{\lambda_s}}\right) - \Phi\left(\frac{S+2m^2+\sqrt{\lambda_s}}{S+2m^2-\sqrt{\lambda_s}}\right) + \bar{J}^2 \right] \quad (16)$$

$$K_X = K_S (S \rightarrow -X_0) + \frac{2}{\sqrt{\lambda_X}} \cdot \bar{J}^2 \\ G_0^{(m)} = \frac{1}{4} L_m \cdot \ln \frac{m^2}{Y} + \frac{1}{4\sqrt{\lambda_m}} \left[\Phi\left(\frac{\sqrt{\lambda_m}-Y}{2m^2}\right) - \Phi\left(\frac{\sqrt{\lambda_m}+Y}{2m^2}\right) - \bar{J}^2 \right] \quad (17)$$

$$G_0^{(M)} = G_0^{(m)} [m \rightarrow M]$$

$$g_1^{(m)} = \frac{1}{Y+4m^2} \left(\frac{1}{2} \ln \frac{Y}{m^2} + Y \cdot G_0^{(m)} \right)$$

$$g_1^{(M)} = g_1^{(m)} [m \rightarrow M].$$

Φ -функция Спенса ; остальные обозначения введены в /I/. Функция δ_J^I была вычислена нами с использованием приемов работы ^{4/}. Результат имеет вид:

$$\begin{aligned} \delta_J^I = & \frac{Y}{T_0^I} \left\{ -\frac{S}{2Y} (T_0^I + S^2) \cdot K_S - \frac{X_0}{2Y} (T_0^I + X_0^2) \cdot K_X - \right. \\ & - \frac{1}{4d_s} [Y(X_0 - 2m^2)(X_0 - M^2) + X_0 \lambda_{X_0}] \cdot L_x - \frac{1}{4d_s} [Y(S + 2m^2) \cdot \right. \\ & \cdot (S + 2M^2) - S \lambda_S] \cdot L_s + (S + X_0) \cdot [2Y(G_o^{(m)} + G_s^{(m)}) + 4M^2(G_o^{(m)} + \right. \\ & \left. + g_s^{(m)}) + 4m^2(G_o^{(m)} + g_s^{(m)}) + \frac{1}{2} \ln \frac{mM}{Y} + \right. \\ & \left. + \frac{(M^2 - m^2)}{2d_{X_0} d_s} \cdot (M^2 + m^2 - Y) \cdot \ln \frac{M}{m} \right] \} \end{aligned} \quad (18)$$

Здесь

$$d_{X_0} = m^2 + M^2 - X_0, \quad d_s = m^2 + M^2 + S,$$

а остальные обозначения те же, что и в (15)-(17).

3. Вклад тормозного излучения

Приведем теперь не вычисленные в ^{I/} части R -вклада. Вклад $d\delta_R^H/dY$ выписываем, используя формулу (45) работы /1/. Имеем

$$\left(\frac{d\delta_R^H}{dY} \right)^I = - \frac{4d^3}{\lambda_s Y^2} \int_0^{v_m} (S - Y - \frac{1}{2} \cdot v) \cdot J(Y, v) dv, \quad (19)$$

$$\left(\frac{d\delta_R^H}{dY} \right)^{II} = - \frac{4d^3 S}{\lambda_s Y^2} \int_0^{v_m} J(Y, v) dv. \quad (20)$$

Оставшаяся (самая громоздкая) часть R -вклада, отвечающая сечению $d\delta_R^F/dY$ (формула (10) работы / I /), была найдена с помощью программы аналитических вычислений *SCHOONSCHIP* /5/. Вычисления проводились по следующей схеме.

I. Находилось полностью дифференциальное сечение (штур) процессов тормозного излучения в реакциях (1) и (2).

2. Полученный штур выражался через пять независимых инвариантов S, Y, X, t, Z , введенных в ^{I/}, и представлялся как полином по степеням t, Z и Z_1 ($Z_1 = Z + t - Y$).

3. Из полученного выражения вычиталось сечение $d\delta_R^H/dY$ (формула (13) работы ^{I/}).

4. С помощью таблицы интегралов I вычислялись двойные интегралы $\int dt \int \frac{dz \cdot t^n z^m}{t \cdot \sqrt{R_z}}$ посредством подстановок $t \cdot z \rightarrow$ результат интегрирования.

5. После интегрирования приводились подобные члены. Вычисления по описанной программе занимают 6 минут на ЭВМ СДС-6400.

Приведем результат машинного вычисления величин $d\delta_R^F/dY$ в виде:

$$\frac{d\delta_R^F}{dY} = \left(\frac{d\delta_R^F}{dY} \right)_0 + f \cdot \left(\frac{d\delta_R^F}{dY} \right)_1 + f^2 \cdot \left(\frac{d\delta_R^F}{dY} \right)_2. \quad (21)$$

Здесь

$$\begin{aligned} \left(\frac{d\delta_R^F}{dY} \right)_0^I = & \frac{2d^3}{\lambda_s} \int_{X_{min}}^{X_0} dx \left\langle \left\{ \frac{1}{2} (L_A + L_t) - \left(1 + \frac{2m^2 S_x}{Y^2} \right) L_m - \right. \right. \\ & - \frac{v}{Y^2} + \frac{1}{Y} - \frac{2}{Y^2 \lambda_s} \cdot (T_1 + m^2 B_0) - \left[\frac{1}{Y^2 \lambda_s} (T_2 - 2m^4 F_0) + \right. \end{aligned}$$

$$\frac{1}{2} + T_3 - \frac{2m^2}{Y} - \frac{4m^4}{Y^2} \Big] L_s \Big\} + \{ S \leftrightarrow -X \} \Big\} . \quad (22)$$

$$\left(\frac{dG_R^F}{dY} \right)_o^I = \frac{2 \cdot \omega^3}{\lambda_s} \cdot \int_{x_{min}}^{x_o} dx \left\langle \left\{ \frac{1}{Y} (S_x + 2m^2) L_m + \frac{1}{Y} - \frac{2v}{Y^2} - \right. \right. \\ \left. \left. - \frac{2}{Y^2 \lambda_s} \cdot T_1 - \left(\frac{1}{Y^2} \lambda_s \cdot T_2 + T_3 \right) \cdot L_s \right\} + \{ S \leftrightarrow -X \} \right\rangle , \quad (23)$$

где $T_1 = \left(\frac{4m^2 S X}{M^2 Y^2} - 1 \right) \cdot \frac{F_o v}{2} + \frac{m^2 S^2 v}{Y^2} \left(\frac{\lambda_y}{M^2} + \frac{3D_o}{\lambda_s} \right) - S \cdot (S + X) \cdot (S + 2m^2) + M^2 B_o ,$

$$T_2 = \frac{2 \cdot m^2 S^2}{Y} \left(E - \frac{3B_o F_o}{Y \cdot \lambda_s} \right) - v \cdot B_o \left(\frac{4m^2 S X}{Y^2} - M^2 \right) - 2m^2 F_o \cdot (S + M^2) ,$$

$$T_3 = \frac{X - 2M^2}{Y} + \frac{S^2 + X^2 - 4m^2 M^2 + 2m^2 S_x}{Y^2} + \frac{8m^2 S X}{Y^3} ,$$

$$B = v \cdot B_o - Y \cdot \lambda_s , \quad B_o = 2m^2 S_x + S \cdot Y , \quad (24)$$

$$E = X \cdot S_x - (S + X + 2M^2) \cdot Y ,$$

$$F_o = S \cdot S_x + 2 \cdot M^2 Y , \quad S_x = S - X ,$$

$$D_o = 4 \cdot [Y \cdot (M^2 Y - S X) + m^2 \lambda_y] , \quad \lambda_y = S_x^2 + 4 \cdot M^2 Y ,$$

$$L_A = \frac{1}{\sqrt{A}} \ln \frac{X + Y + \sqrt{A}}{X + Y - \sqrt{A}} , \quad A = (X + Y)^2 - 4m^2 (v + M^2) ,$$

остальные обозначения те же, что и в работе^{I/};

$$\left(\frac{dG_R^F}{dY} \right)_o^I = \frac{2 \omega^3 f}{\lambda_s \cdot Y} \int_{x_{min}}^{x_o} dx \left\langle \left\{ (S + X) \left(\frac{1}{2 \cdot A \cdot A} \cdot [Y(S - Y)(X + Y) - \right. \right. \right. \\ \left. \left. \left. - 2 \cdot m^2 (v^2 + Y^2 + 2 \cdot Y M^2)] - \frac{Y}{\lambda_y} + \frac{Y}{v} \left[\frac{1}{2} + \frac{M^2}{S_x} \left(1 + \frac{v \cdot S_x + Y^2}{\lambda_y} \right) \right] \right) L_t + \right. \\ \left. + \left[\frac{1}{2} - \frac{M^2 \cdot Y (Y + 4M^2)}{S_x \cdot \lambda_y} \right] L_u \right) + S \cdot [T_4 + T_5] D_s - [T_5 + 3m^2 + M^2 + \\ \left. + \frac{m^2}{A} (Y(S + X) - F_o)] L_A + S \cdot \left[\frac{Y}{S_x} + \frac{4m^2}{Y} + \frac{2}{S_x} T_4 \right] L_s \right\} - \left. \left. \left. - \{ S \leftrightarrow -X \} \right\} ; \right. \quad (25)$$

$$\left(\frac{dG_R^F}{dY} \right)_o^I = \frac{2 \omega^3 f}{\lambda_s \cdot Y} \int_{x_{min}}^{x_o} dx \left\langle \left\{ (S + X) \left(\frac{1}{2} - \frac{M^2 (S_x + 4M^2)}{S_x \cdot \lambda_y} \right) L_u + \right. \right. \\ \left. \left. + \frac{Y}{v} \left[\frac{1}{2} + \frac{M^2}{S_x} \left(1 + \frac{S_x \cdot v}{\lambda_y} \right) \right] L_t \right) + S \cdot T_6 D_s - (S + M^2 + \right. \\ \left. + 2m^2) L_A + S \left(\frac{4m^2}{Y} - 1 - \frac{2S}{S_x} + 2 \cdot T_6 \right) L_s \right\} - \{ S \leftrightarrow -X \} \right\rangle ; \quad (26)$$

где $T_4 = \frac{S^2 + X^2 - M^2 - m^2}{Y} , \quad T_5 = \frac{S + X}{2} , \quad D_s = \frac{L_A - L_s}{v} ,$
 $T_6 = S - M^2 + \frac{2SX}{Y} , \quad F_o^I = X \cdot S_x - 2M^2 Y ; \quad (27)$

$$\begin{aligned} \left(\frac{\partial \sigma_R^F}{\partial Y} \right)_2 &= \frac{2 \cdot \alpha^3 f^2}{\lambda_s \cdot Y^2} \int_{x_{min}}^{x_0} dx \left\{ T_7 + S + X + Y - \left[\frac{1}{\lambda_y} (T_8 + \right. \right. \\ &+ Y \cdot \nu \left(\frac{3E \hat{F}_o}{\lambda_y} - \lambda_x + \hat{B}_o + \hat{F}_o' \right) \left. \right] - X \cdot Y - M^2 (S + X + 3Y) - \right. \\ &- 2 \cdot m^2 \cdot Y \left. \right] \frac{1}{\tau} + \frac{\nu (S_x + 2M^2)}{4} \left[\frac{Y}{\lambda_y} \left(\frac{3 \cdot E^2}{\lambda_y} - A + 2 \cdot E \right) - \right. \\ &- 2 \cdot m^2 + Y \left. \right] \frac{1}{\tau^2} - \left[\frac{1}{\lambda_y} (T_9 + T_{10} + \frac{1}{2} \nu \cdot Y \cdot (\lambda_x - 3 \frac{\hat{F}_o^2}{\lambda_y})) \right] + \\ &\left. \left. + \frac{Y}{2} (S + X + Y) + 2 \cdot M^2 (S + X + 2Y) + m^2 (S_x + Y) \right] L_u \right\}, \end{aligned} \quad (28)$$

$$\begin{aligned} \left(\frac{\partial \sigma_R^F}{\partial Y} \right)_2 &= \frac{2 \cdot \alpha^3 f^2}{\lambda_s \cdot Y^2} \int_{x_{min}}^{x_0} dx \left\{ T_7 + 2X - \left[\frac{1}{\lambda_y} (T_8 - Y \cdot \nu \cdot E) - \right. \right. \\ &- \nu (Y - 2m^2) - (X + Y)(Y + 2M^2) \left. \right] \frac{1}{\tau} - \left[\frac{1}{\lambda_y} (T_9 + T_{10} + \right. \\ &+ \nu \cdot Y \cdot \hat{F}_o') + X \cdot Y + 2 \cdot M^2 (Y + 2X) \left. \right] L_u \right\}, \end{aligned} \quad (29)$$

где

$$\begin{aligned} T_7 &= \frac{1}{\lambda_y} \left[\nu \left(\lambda_x - \frac{3 \cdot F_o^2}{\lambda_y} \right) + 2 \cdot (Y + 2X) \hat{F}_o' \right], \\ T_8 &= M^2 \nu \left(\frac{3E^2}{\lambda_y} - A \right) - (Y + 2M^2)(Y + 2X) \cdot E, \end{aligned}$$

$$\begin{aligned} T_9 &= -2M^2 \nu \left(\frac{3E \hat{F}_o}{\lambda_y} - \lambda_x + \hat{B}_o \right), \\ T_{10} &= (Y + 2X) \left[2 \cdot M^2 E + (Y + 2M^2) \cdot \hat{F}_o' \right]. \end{aligned} \quad (30)$$

Однократные интегралы (19) и (20) вычисляются легко. Однако в конкретных расчетах их удобно объединять с выражениями (22), (25), (28) и (23), (26), (29). Последние интегралы выражаются через функции Спенса, но результат интегрирования настолько громоздкий, что получение из него численного значения занимает больше времени на ЭВМ, чем численное интегрирование исходных выражений. Поэтому мы и привели их в виде однократных интегралов.

Формулы (3)-(30) совместно с формулами (38), (46), (57) и (60) работы ^{1/} дают в условиях экспериментов второго типа искомые дифференциальные сечения процессов (1) и (2) с точностью до членов $\sim \alpha^3$. Как видно, результат точного расчета чрезвычайно громоздкий. Однако мы даем именно точный результат, имея в виду его различные применения впоследствии.

Таблица двойных интегралов

$$\begin{aligned} \text{Таблица I.} \\ J[x] &= \frac{1}{\pi} \int dt \int \frac{dz}{\sqrt{R_z}} \cdot x \\ J[\frac{1}{z^2}] &= \frac{1}{m^2 v}, \quad J[\frac{1}{z^2}] = J[\frac{1}{z^2}] (s \leftrightarrow -x), \\ J[\frac{1}{z^2 t}] &= \frac{1}{y^2 \lambda_s} \left(F_0 L_s - \frac{B}{m^2 v} \right), \quad J[\frac{1}{z^2 t}] = J[\frac{1}{z^2 t}] (s \leftrightarrow -x), \\ J[\frac{1}{z^2 t^2}] &= \frac{1}{y^2 \lambda_s} \left[(E - \frac{38F_0}{y \lambda_s}) \frac{1}{y} L_s + \frac{A}{m^2 v} + \frac{v}{y^2} \left(\frac{\lambda_y}{M^2} + \frac{3d_0}{\lambda_s} \right) \right], \\ J[\frac{1}{z^2 t^2}] &= J[\frac{1}{z^2 t^2}] (s \leftrightarrow -x), \\ J[\frac{1}{z}] &= L_s, \quad J[\frac{1}{z}] = -J[\frac{1}{z}] (s \leftrightarrow -x), \\ J[\frac{1}{z t}] &= \frac{1}{y} L_s, \quad J[\frac{1}{z t}] = -J[\frac{1}{z t}] (s \leftrightarrow -x), \\ J[\frac{1}{z t^2}] &= \frac{1}{y^3 \lambda_s} \left(\frac{F_0 v}{M^2} - B L_s \right), \quad J[\frac{1}{z t^2}] = -J[\frac{1}{z t^2}] (s \leftrightarrow -x), \\ J[\frac{1}{z(t-y)}] &= \frac{1}{v} L_m, \quad J[\frac{1}{z_1(t-y)}] = -\frac{1}{v} L_m, \\ J[t] &= \frac{v}{\tau}, \quad \tau = v + M^2, \\ J[\frac{1}{t}] &= L_t, \quad J[\frac{1}{t^2}] = \frac{v}{M^2 y^2}, \\ J[\frac{1}{uz}] &= \frac{1}{v} L_x, \quad J[\frac{1}{uz_1}] = -J[\frac{1}{uz}] (s \leftrightarrow -x), \\ J[\frac{t}{z}] &= \frac{E \cdot v}{A \cdot \tau} - \frac{B}{A} L_s, \quad J[\frac{t}{z_1}] = -J[\frac{t}{z}] (s \leftrightarrow -x). \end{aligned}$$

Интегрирование выражений, содержащих \int в числителе, ведем в два этапа. Выполняем \int -интегрирование по формуле.

$$\int \frac{z^2 dz}{\pi \sqrt{R_z}} = \frac{1}{\sqrt{\lambda_y}} \cdot (C_0 v^2 + C_1 u \cdot v + C_2 u^2)$$

$$\begin{aligned} \int \frac{z dz}{\pi \sqrt{R_z}} &= \frac{1}{\lambda_y^{3/2}} \left(v F_0 - E u \right), \quad \int \frac{dz}{\pi \sqrt{R_z}} = \frac{1}{\sqrt{\lambda_y}}, \\ C_0 &= \frac{3}{2} \cdot \frac{\hat{F}_0^2}{\lambda_y^2} - \frac{\lambda_x}{2 \cdot \lambda_y}, \quad C_1 = -\frac{3E \cdot \hat{F}_0}{\lambda_y^2} + \frac{\lambda_x - \hat{B}_0}{\lambda_y}, \\ C_2 &= \frac{3E^2 - A \lambda_y}{2 \cdot \lambda_y^2}. \end{aligned}$$

После интегрирования по t возникают интегралы

$$\begin{aligned} J[\frac{1}{u^2}] &= \frac{1}{M^2 v}, \quad J[\frac{1}{u}] = L_u, \\ J[u] &= \frac{v^2 (S_x + 2 \cdot M^2)}{2 \cdot \tau^2}. \end{aligned}$$

В полученных формулах:

$$\begin{aligned} L_s &= \frac{1}{\sqrt{\lambda_s}} \ln \frac{s + \sqrt{\lambda_s}}{s - \sqrt{\lambda_s}}, \quad L_x = -L_s (s \leftrightarrow -x), \\ \lambda_s &= S^2 - 4m^2 M^2, \quad \lambda_x = \lambda_s (s \leftrightarrow -x), \\ L_t &= \frac{1}{\sqrt{\lambda_y}} \ln \frac{v(S_x + \sqrt{\lambda_y}) + 2M^2 y}{v(S_x - \sqrt{\lambda_y}) + 2M^2 y}, \\ L_u &= \frac{1}{\sqrt{\lambda_y}} \ln \frac{S_x + 2M^2 + \sqrt{\lambda_y}}{S_x + 2M^2 - \sqrt{\lambda_y}}, \\ L_m &= \frac{1}{\sqrt{\lambda_m}} \ln \frac{\sqrt{\lambda_m} + y}{\sqrt{\lambda_m} - y}, \quad \lambda_m = y^2 + 4 \cdot m^2 \cdot y. \end{aligned}$$

Литература:

1. Д.Ю. Бардин, Н.М. Шумейко. ОИЯИ, Р2-10113, Дубна, 1976.
2. Д.Ю. Бардин, Н.М. Шумейко. ОИЯИ, Р2-9940, Дубна, 1976.
3. B.E. Lautrup, J. Smith. Phys. Rev. D3, 1122, 1971.
4. J.Kahane. Phys. Rev., 135, B975, 1964.
5. H.S. Strubbe. Comp. Phys. Com., 8, 1, 1974.

Рукопись поступила в издательский отдел
17 сентября 1976 года.